# XVII конференции «Математические модели и численные методы в биологии и медицине» 16 октября - 17 октября 2025 г.

А.Ю Герасименко, М.С. Савельев

#### Механизмы формирования биосовместимых материалов с помощью лазерного излучения

Национальный исследовательский университет «МИЭТ»





ФГАОУ ВО Первый МГМУ им. И. М. Сеченова Минздрава России (Сеченовский Университет) «ПМГМУ»

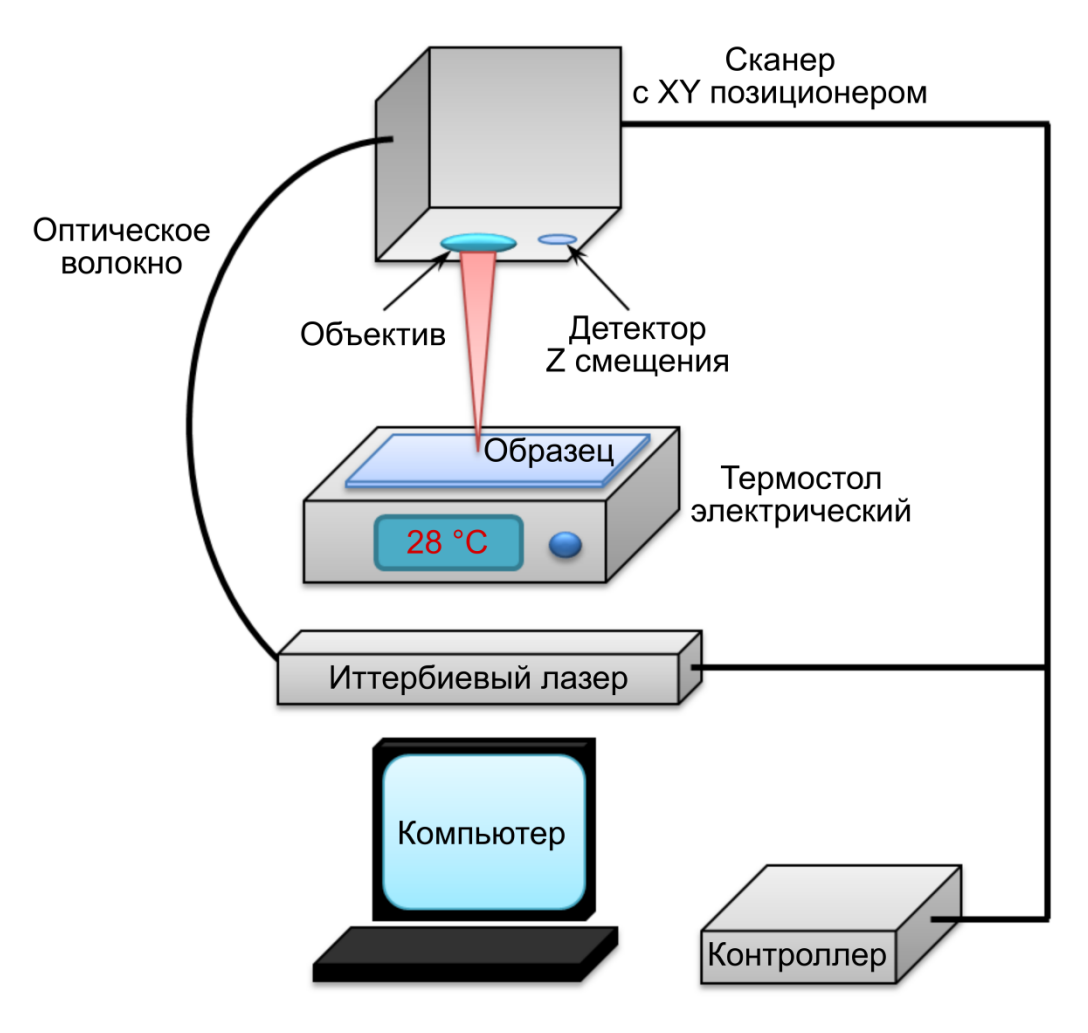




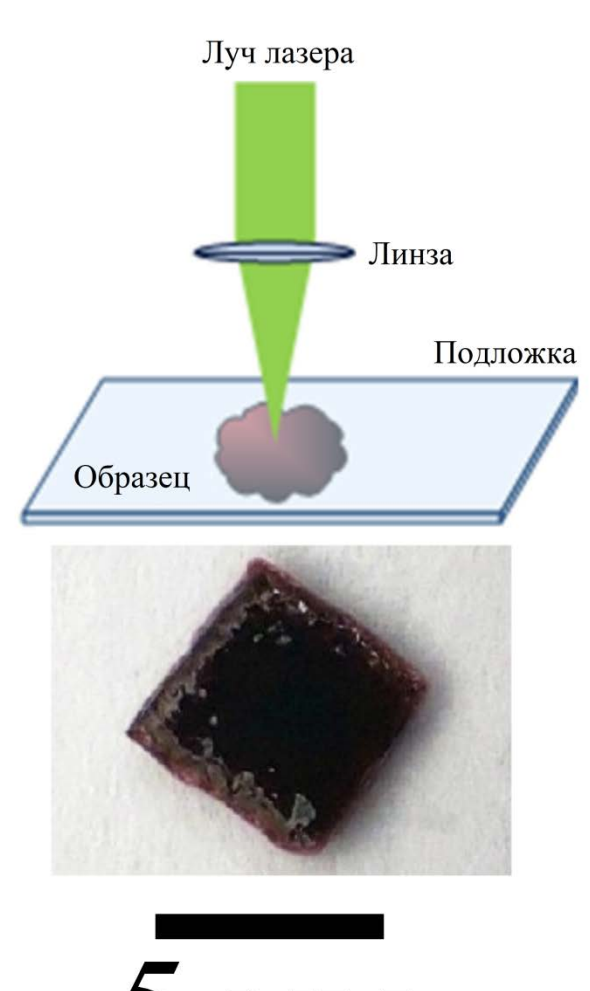
Финансирование: Работа выполнена в рамках государственного задания Минобрнауки России (Проект FSMR-2024-0003).

Москва 2025

## Изготовление композита методом фотолитографии



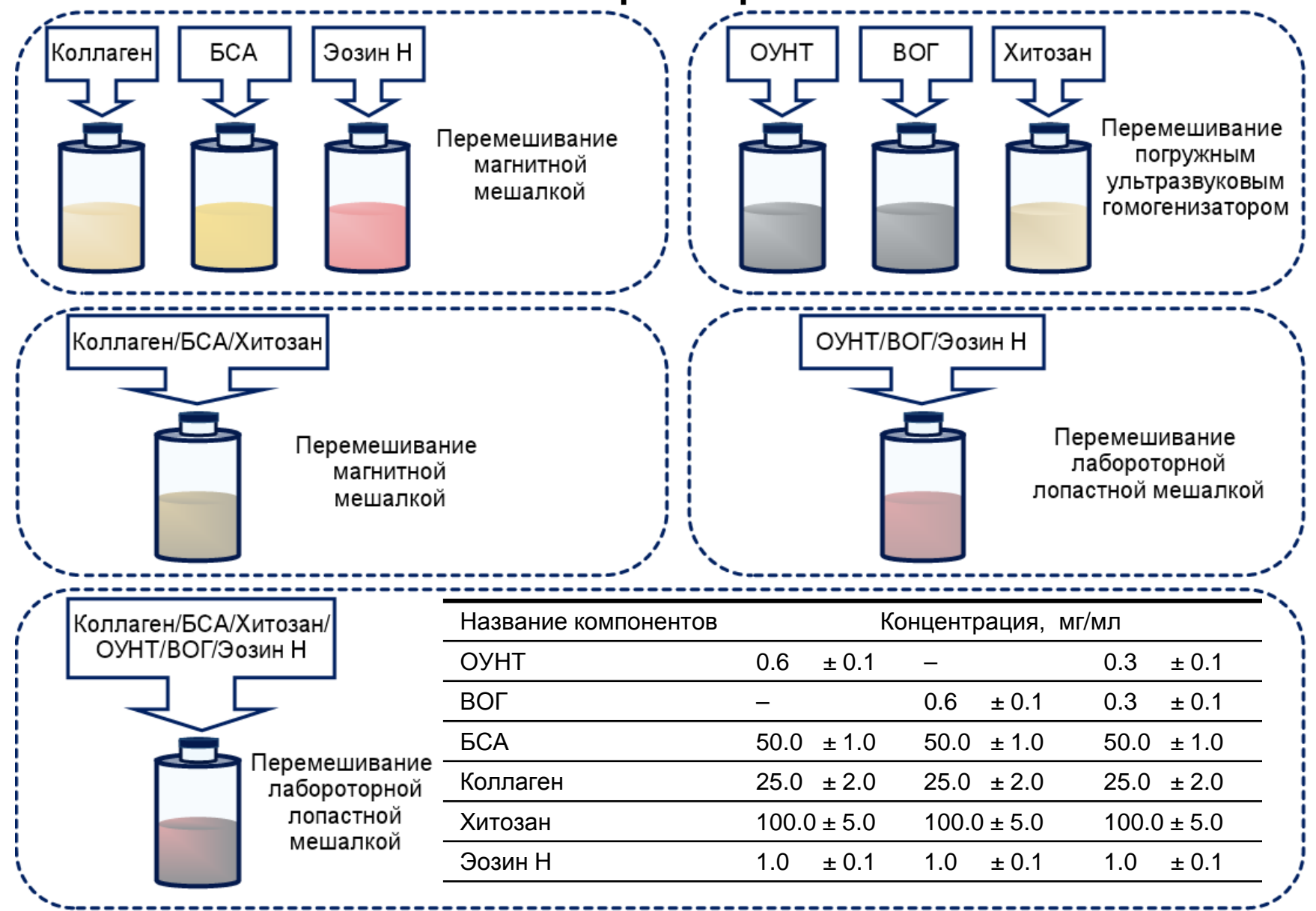
Лазерная система для приготовления композитов методом фотолитографии из фоторезиста с использованием низкоэнергетического ИК-излучения (1070 нм) наносекундной длительности



 $\overline{5}$  MM

Схема эксперимента

Состав фоторезиста



ОУНТ – Одностенный углеродные нанотрубки

ВОГ – Восстановленный оксид графена

БСА – Бычий сывороточный альбумин

## Методика измерения оптических свойств фоторезиста

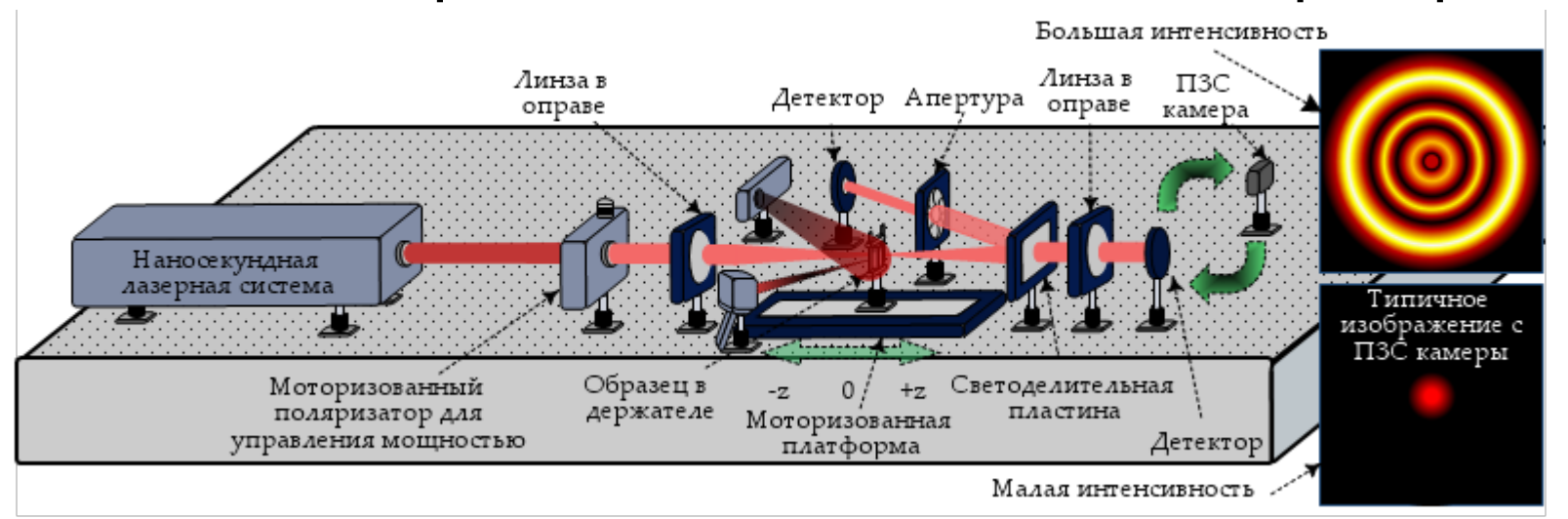
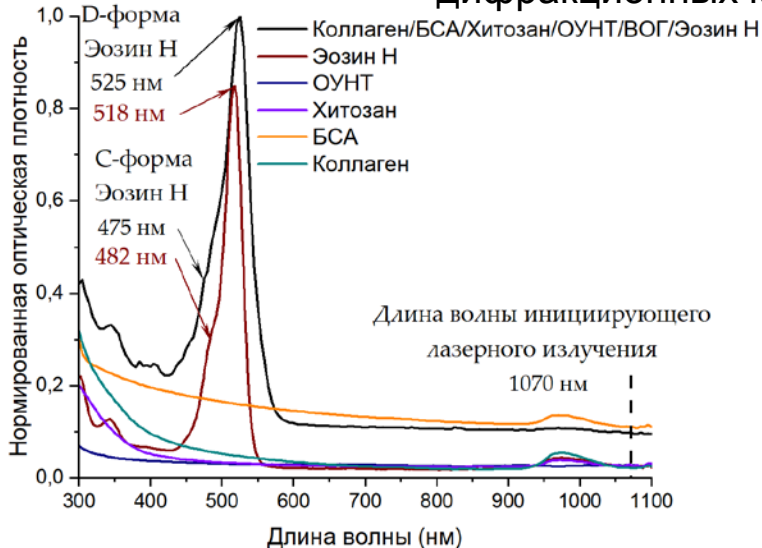


Схема установки для проведения исследований методом Z-сканирования, регистрации картины дифракционных колец и контроля температуры



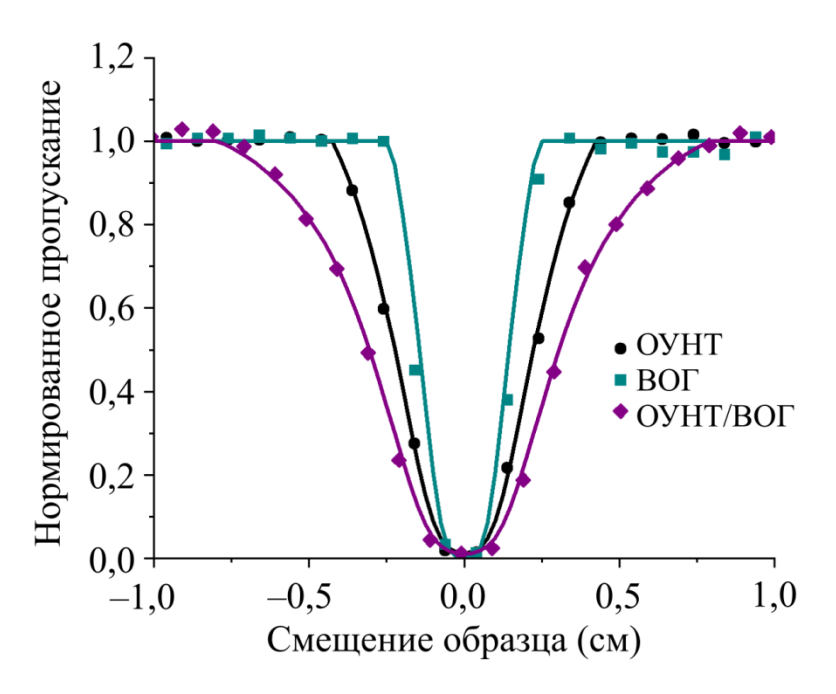
#### Спектры компонентов фоторезиста

ОУНТ – Одностенный углеродные нанотрубки ВОГ – Восстановленный оксид графена БСА – Бычий сывороточный альбумин

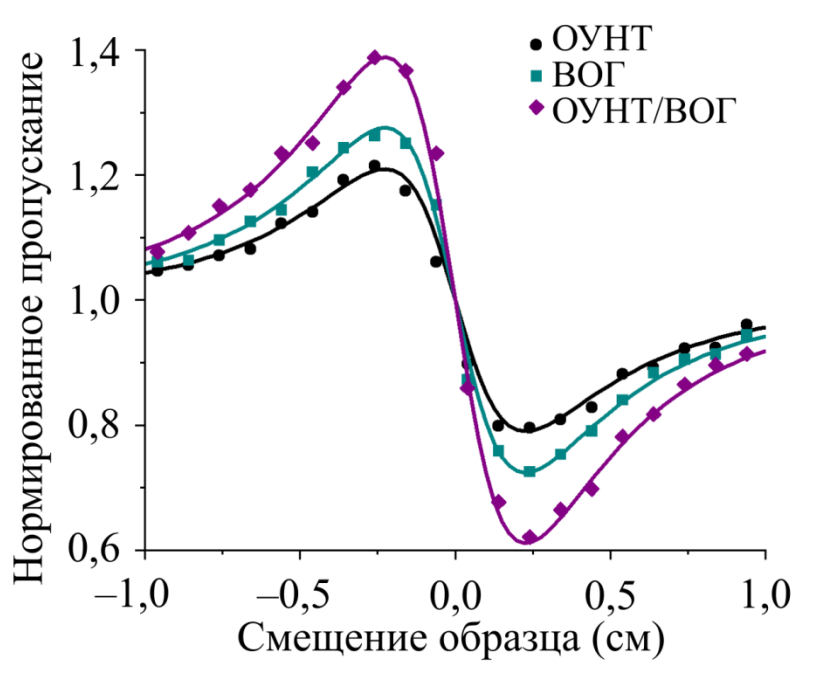
#### Основные параметры установки

- 1. Мощность лазерного излучения 200 мВт.
- 2. Радиус луча лазера 20 мкм.
- 3. Длина волны 1070 нм.
- 4. Частота повторения импульсов 15 кГц.
- 5. Фокусное расстояние линзы 5 см.

#### **Z-скан**



Результаты измерений методом Zсканирования с открытой апертурой



Результаты измерений методом Zсканирования с закрытой апертурой

#### Математический аппарат для расчета параметров нелинейного оптического материала

Из уравнения переноса излучения (УПИ) для нелинейного взаимодействия можно определить интенсивность как функцию координаты  $\ll l$ » вдоль направления распространения луча в образце. Таким образом, мы можем записать:

$$\int_{I_0(x,y,z,t,0)}^{I(x,y,z,t,d)} \frac{1}{I\mu(I)} dI = -\int_0^d dl.$$
 (1)

В пороговой модели, коэффициент поглощения  $\mu(I)$  представляется как:

$$\mu(I) = \begin{cases} \alpha, & I < I_x, \\ \alpha + \beta(I - I_x), & I > I_x. \end{cases}$$
 (2)

Используя решение (1) после подстановки (2) получим прошедшую интенсивность I.

В случае пороговой модели коэффициент поглощения от интенсивности задаётся формулой (2), где  $I_{\rm x}$  — пороговая интенсивность,  $\alpha$  — коэффициент линейного поглощения,  $\beta$  — нелинейный коэффициент поглощения.

Полная энергия одиночного импульса U определяется как:

$$U(\rho, \varphi, t) = \int_{-\infty}^{+\infty} \left( \int_{0}^{2\pi} \int_{0}^{\infty} I(\rho, \varphi, t) \rho d\rho d\varphi \right) dt, \quad (3)$$

где  $\rho$  и  $\phi$  - полярная система координат, t - время.

Нормированное пропускание в пороговой модели (2) через полную энергию импульса (4) можно записать в простом виде для формы импульса прямоугольной формы в сечении как:

$$T = \exp\left[\left(\frac{\beta}{\tau}\left(F_x - \frac{U_0}{\pi w_0^2}w_y\right) - \alpha\right)d\right], \quad (4)$$

где  $\tau$  и  $w_0$  характеристики лазерного луча, а именно длительность и радиус, соответственно. В (5) значение нормированного радиуса:

$$w_{y} = \sqrt{1 + \frac{z^{2}}{z_{0}^{2}}}.$$
 (5)

где  $z_0$  длина Рэлея, а z смещение образца относительно фокуса линзы.

## Результаты исследований нелинейно-оптических свойств

#### Таблица – Оптические параметры фоторезиста

Фоторезист	Концентрация ОУНТ, мг/мл	Концентрация ВОГ, мг/мл	Линейный коэффициент поглощения, α, см-1	Нелинейный коэффициент поглощения, $\sigma$ , ГМ	Пороговая экспозиция лазерного излучения, $F_{x}$ , Дж/см <sup>2</sup>	преломления,	Нелинейный коэффициент преломления, $n_{\rm n}$ , cm²/TBт
1	0,6	_	35	530	0,15	1,3619	15
2	_	0,6	25	430	0,25	1,3642	15
3	0,3	0,3	31	640	0,05	1,3628	25

Сечение двух-фотонного поглощения определялось по формуле:

$$\sigma = \frac{\beta h\omega}{N_{\Delta} C \cdot 10^{-3}} \cdot 10^{50} (\Gamma M). \tag{1}$$

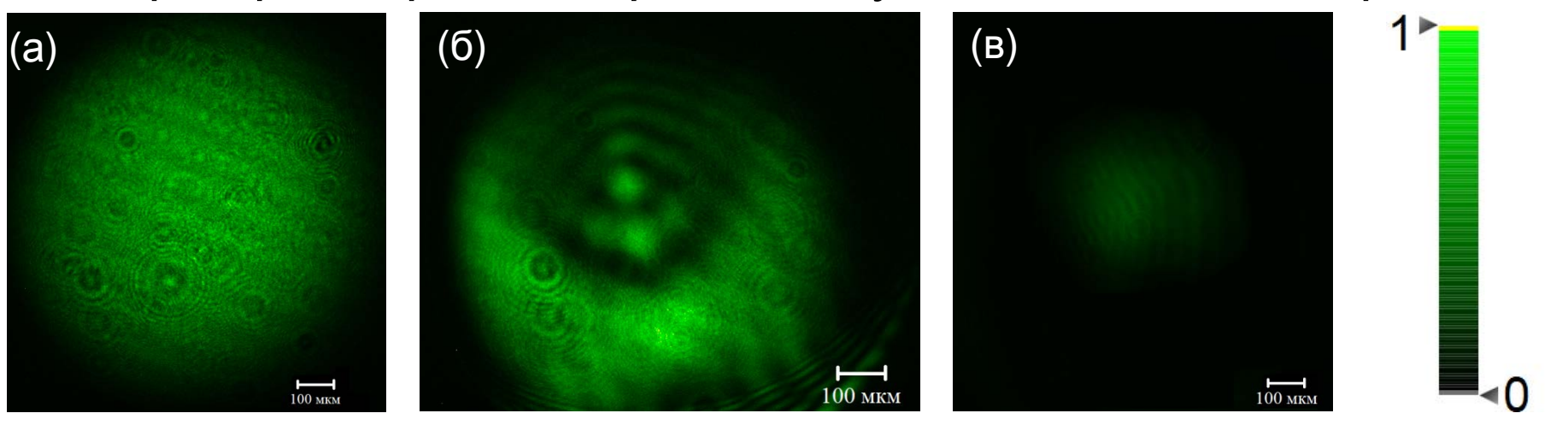
где  $\beta$  – нелинейный коэффициент поглощения (см/Вт);  $N_{\rm A}$  – число Авогадро (моль<sup>-1</sup>); C – концентрация моль деленное на литр (моль/л);  $\hbar$  – константа Дирака (Дж·с);  $\omega$  – циклическая частота (Гц);

Нелинейный показатель преломления определен в соответствии с формулой:

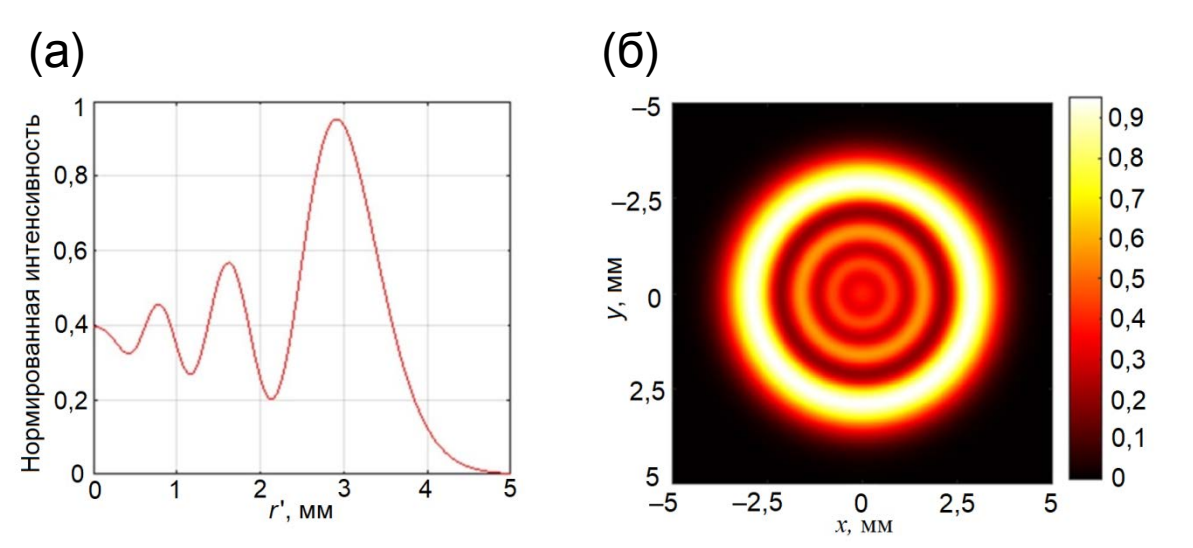
$$T = 1 - \frac{8\pi n_{\rm n} I_0 \left(1 - \exp(-\alpha d)\right) x}{\lambda \alpha \left(x^2 + 9\right) \left(x^2 + 1\right)}.$$
 (2)

где  $x=z/z_0$  — нормированная координата;  $\alpha$  — линейный коэффициент поглощения; d — оптическая толщина образца;  $I_0$  — максимальная интенсивность в фокусе;  $\lambda$  — длина волны;  $n_{\rm n}$  — нелинейный показатель преломления.

### Подбор параметров лазерного излучения для полимеризации



Профиль пучка при облучении образца лазерными импульсами: наносекундная длительность (а) вдали от фокуса, (б) в фокусе и (в) со сформированным композитом



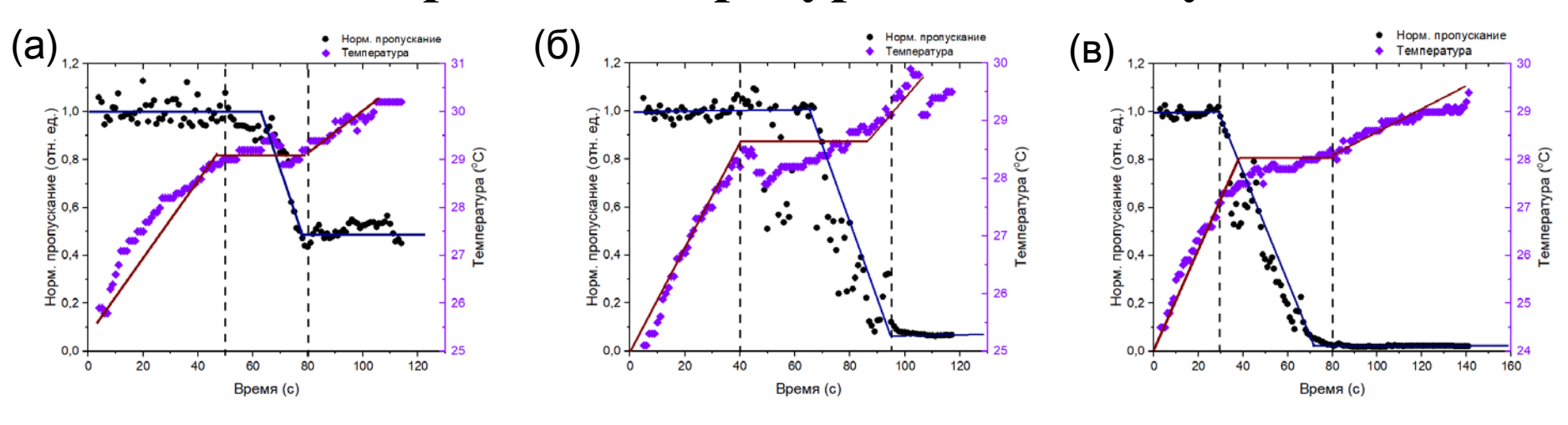
Пространственные профили пучка после взаимодействия с образцом: радиальные (а) и двумерные (б) паттерны для излучения с наносекундной длительностью импульса при отсутствии тепловой конвекции

Число проходов лазерного луча для стабильной полимеризации определяется по формуле:

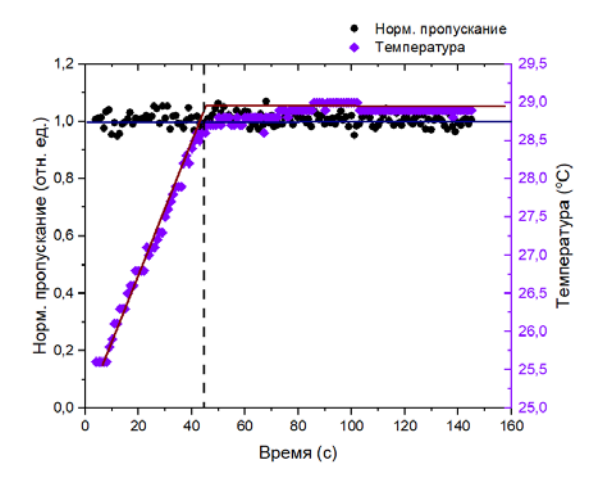
$$N = \frac{9 \cdot t}{I}.$$
 (1)

где  $\vartheta$  – скорость перемещения лазерного пятна; t – время от начала лазерного облучения до исчезновения картины дифракционного кольца; L – длина линии.

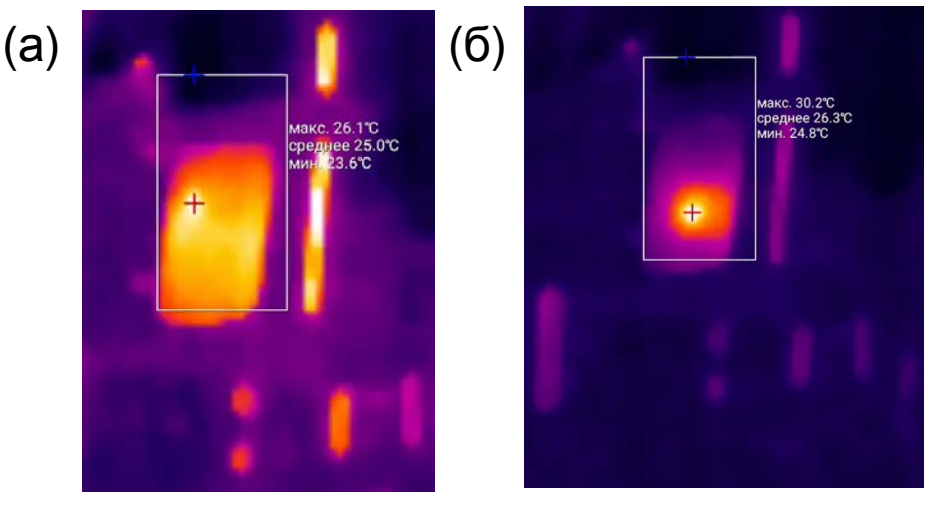
## Контроль температуры в зоне облучения



Зависимости нормированного пропускания и температуры от времени лазерного воздействия при расположении образцов фоторезиста в фокусе линзы: (а) ВОГ, (б) ОУНТ и ВОГ, (в) ОУНТ



Зависимости нормированного пропускания и температуры от времени лазерного воздействия при расположении фоторезиста с ВОГ вне фокусе линзы со смещением 2 мм

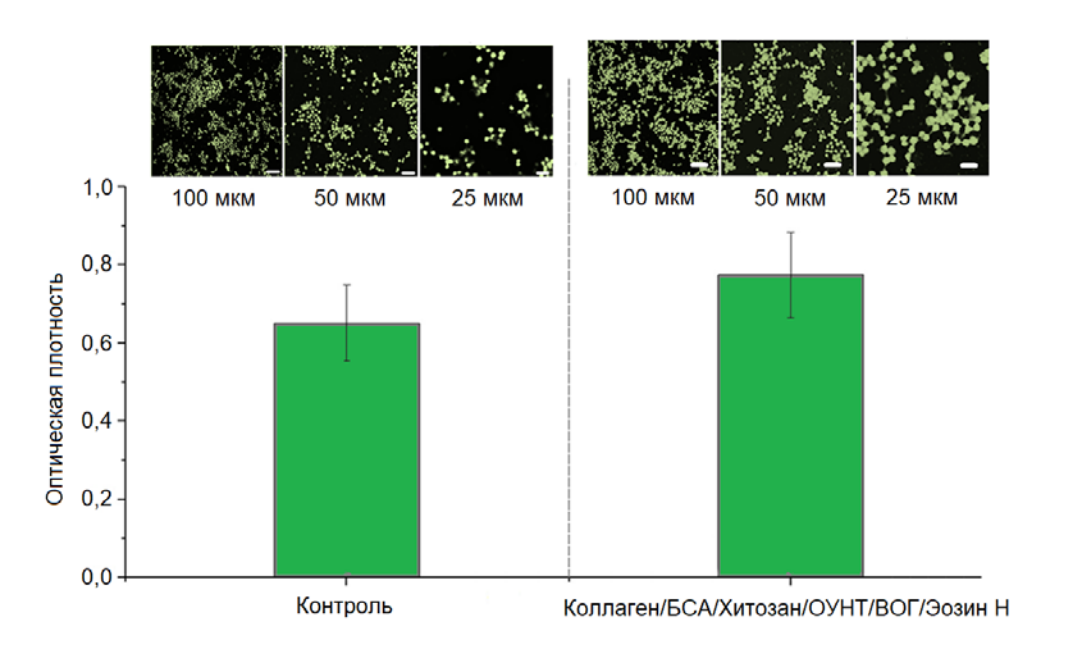


Типичные изображения полученные тепловизором: (a) в начальный момент времени и (б) после формирования образца

## Удельная проводимость биокомпозитов

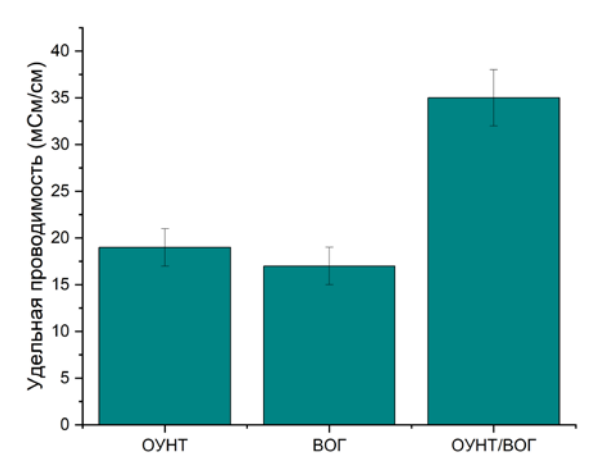
Таблица. Электропроводность образцов

Биокомпозиты, №	Концентрация ОУНТ, мг/мл	Концентрация ВОГ, мг/мл	Удельная проводимость, мСм×см <sup>-1</sup>
1	0,6	_	19
2	_	0,6	17
3	0,3	0,3	35



Изображение клеток после трех дней наблюдения

ОУНТ – Одностенный углеродные нанотрубки ВОГ – Восстановленный оксид графена

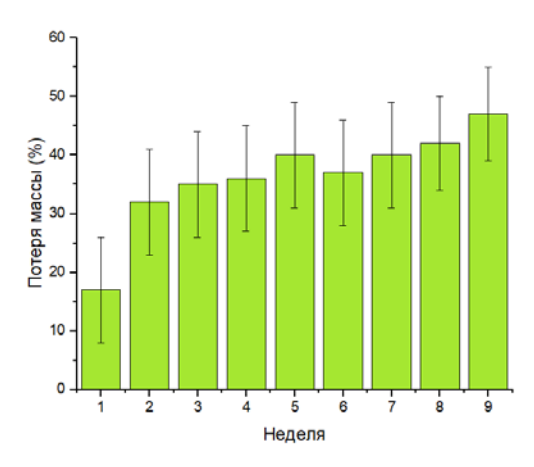


Удельная электропроводность биокомпозита

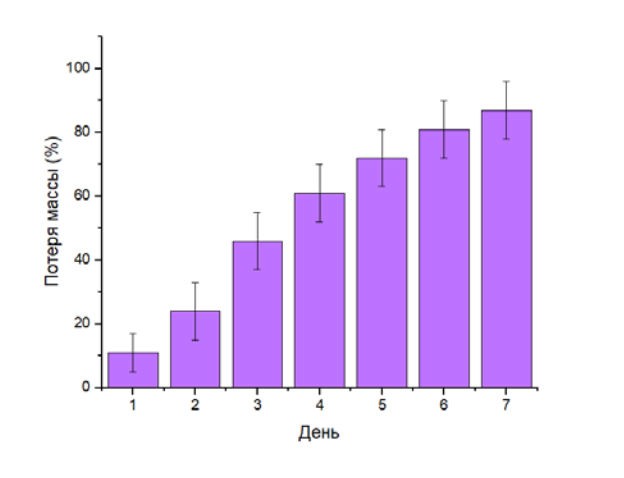


Внешний вид биокомпозитов

## Оценка деградации материала



Потери массы за девять недель (Коллаген/БСА/Хитозан/ОУНТ/ВОГ/Эозин H)



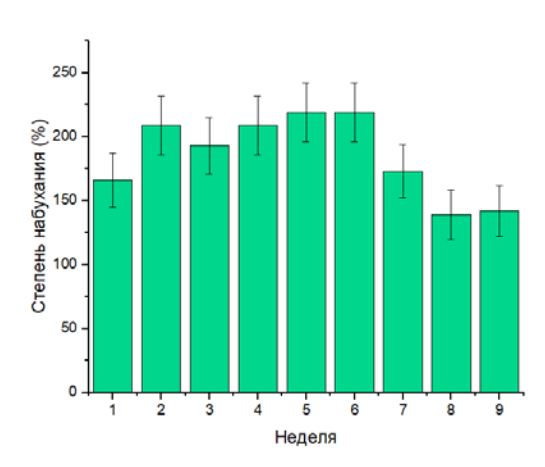
Липаза 25,000 PhEur

Амилаза 18,000 PhEur

Протеаза 1,000 PhEur

Потери массы за семь дней с ферментативной деградацией (Коллаген/БСА/Хитозан/ОУНТ/ВОГ/Эозин Н)

ОУНТ – Одностенный углеродные нанотрубки ВОГ – Восстановленный оксид графена



Степень повторного набухания относительно первоначальной (Коллаген/БСА/Хитозан/ОУНТ/ВОГ/Эозин Н)

#### Оценка потери массы

$$M_t = \frac{m_0 - m_t}{m_0} \times 100\%$$
 , (1)

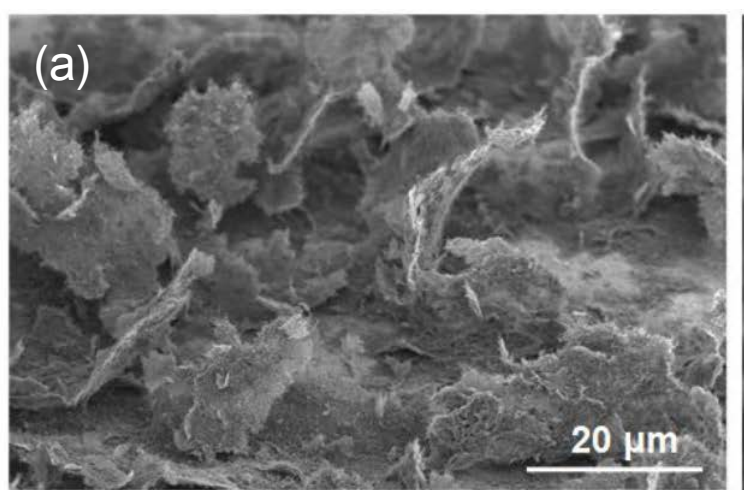
где  $M_{\rm t}$  – потеря массы после t дней деградации,  $m_{\rm 0}$  – начальное значение массы сухого образца до деградации,  $m_{\rm t}$  – масса после t дней.

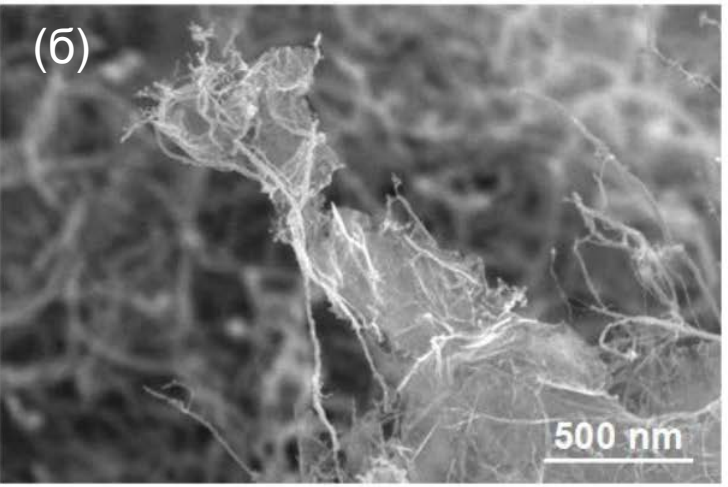
#### Оценка степени набухания

$$S_t = \frac{m_{Wt} - m_t}{m_0} \times 100\% , \qquad (2)$$

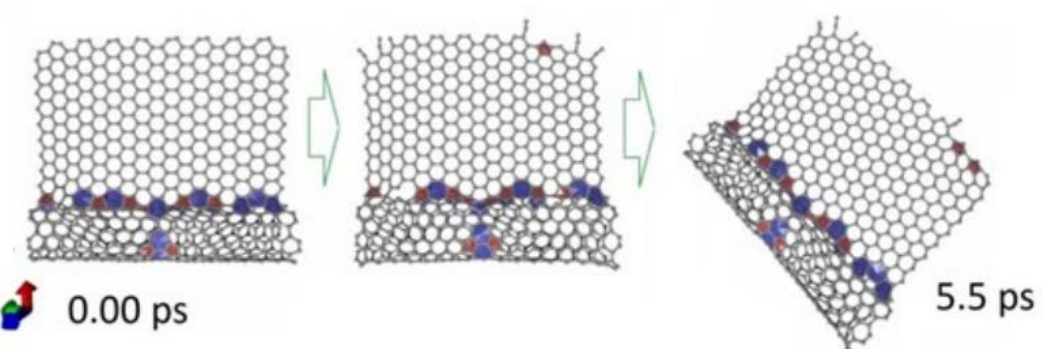
где  $S_t$  — степень повторного набухания после t дней деградации,  $m_{wt}$  — значение массы влажного набухшего образца после t дней.

# Негексагональные углеродные элементы





СЭМ-изображения слоистых структур на основе гибридов ОУНТ/ВОГ после лазерного воздействия с экспозицией 0,5 Дж/см<sup>2</sup>: (а) масштабная линейка 20 мкм и (б) масштабная линейка 500 нм



Реакция гибрида на основе ВОГ пластинки, связанной с ОУНТ, на внешнее электрическое поле с течением времени (от 0 до 5,5 пс)

ОУНТ – Одностенный углеродные нанотрубки ВОГ – Восстановленный оксид графена



на основе ВОГ чешуек, связанных с ОУНТ, после лазерного воздействия

## Результаты и выводы

Сочетание однослойных углеродных нанотрубок (ОУНТ) и восстановленного оксида графена (ВОГ) в фоторезисте минимизирует количество углеродных частиц при разработке нейроимплантатов, предназначенных для восстановления поврежденных нейронных сетей или модуляции передачи боли, причем ключевыми требованиями являются как биосовместимость, так и электропроводность.

Фотолитографию композита проводили с помощью иттербиевого лазера на длине волны 1070 нм с длительностью импульсов 120 нс, частотой повторения 15 к $\Gamma$ ц и мощностью ~200 мВт. В качестве фоторезиста использовали ОУНТ 0,6 мг/мл, ВОГ 0,6 мг/мл и ОУНТ (0,3 мг/мл)/ВОГ (0,3 мг/мл).

Удельная проводимость: 17 мСм/см (ВОГ), 19 мСм/см (ОУНТ) и 35 мСм/см (ОУНТ/ВОГ).

Потеря массы образца ОУНТ/ВОГ составила 40%, набухание увеличилось на 20%, оптическая плотность МТТ-теста составила 0,76 (контрольное покровное стекло 0,62).

Ферменты разложили образец за неделю.

Моделирование и СЭМ подтверждают лазерно-индуцированную перестройку ОУНТ с ВОГ в отдельные наноструктуры с образованием негексагональных углеродных элементов.

Фазовый переход наблюдается при температуре 27–29 °C.

В процессе формирования композита отмечается резкое снижение оптической плотности в пять раз.

Полученный материал обладает удельной проводимостью 35 мСм/см, а включение биополимеров обеспечивает высокую биосовместимость, что подтверждается пролиферацией клеток, превысившей контрольный образец на покровном стекле.

Работа выполнена в рамках государственного задания Минобрнауки России (Проект FSMR-2024-0003).

## Спасибо за внимание!